



N°11

du 08/11 au
14/11/2023

Rédacteurs

TERRES INOVIA en
collaboration avec la
FDGEDA du Cher

Observateurs

AGROPITHIVIERS, AXEREAAL,
CA 18, CA 28, CA 36, CA 37,
CA 41, CA 45, CETA
CHAMPAGNE BERRICHONNE,
ETS VILLEMONT, FDGEDA DU
CHER, UCATA.

Relecteurs

La Chambre d'Agriculture de
l'Eure-et-Loir, SRAL Centre.

**Directeur de
publication :**

Philippe NOYAU,
Président de la Chambre
régionale d'agriculture du
Centre-Val de Loire

**13 avenue des Droits de
l'Homme – 45921 ORLEANS**

Ce bulletin est produit à
partir d'observations
ponctuelles. Il donne une
tendance de la situation
sanitaire régionale, qui ne
peut pas être transposée
telle quelle à la parcelle.

La Chambre régionale
d'agriculture du Centre-Val
de Loire dégage donc toute
responsabilité quant aux
décisions prises par les
agriculteurs pour la
protection de leurs cultures.

*Action du plan Ecophyto
pilote par les ministères en
charge de l'agriculture, de
l'écologie, de la santé et de
la recherche, avec l'appui
technique et financier de
l'Office français de la
Biodiversité*

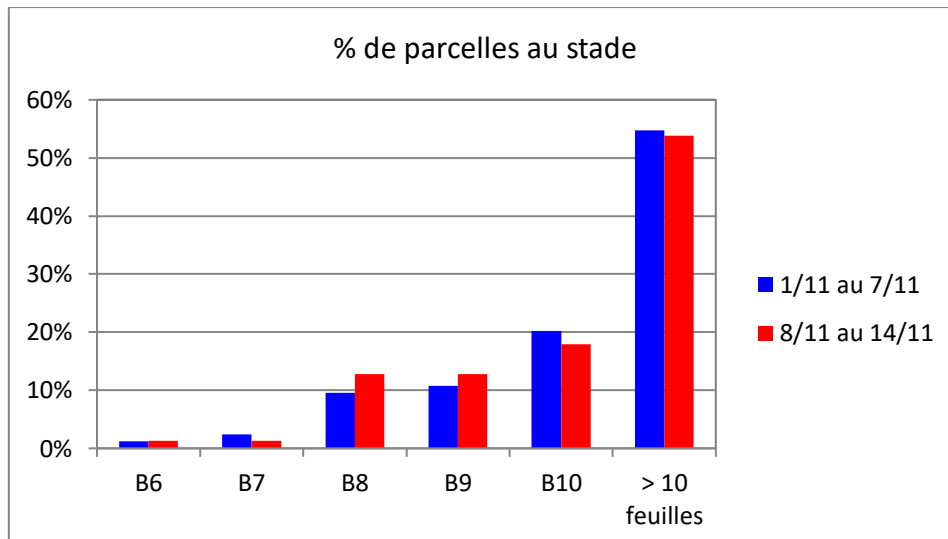
Colza

RESEAU 2023-2024

Le réseau est actuellement composé de 96 parcelles réparties sur l'ensemble de la région Centre-Val de Loire. Les observations sont disponibles pour 78 parcelles cette semaine.

STADES DES COLZAS

Plus de 95 % des parcelles du réseau ont atteint ou dépassé le stade B8 (8 feuilles).

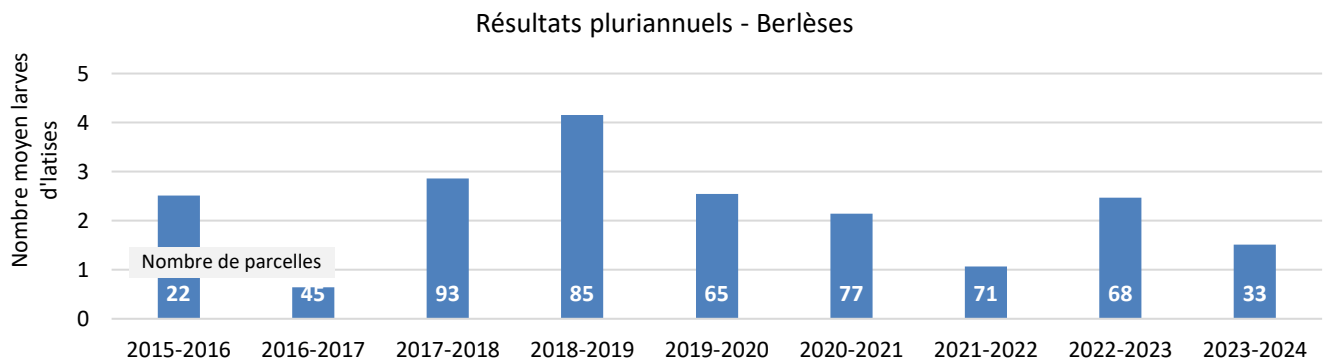
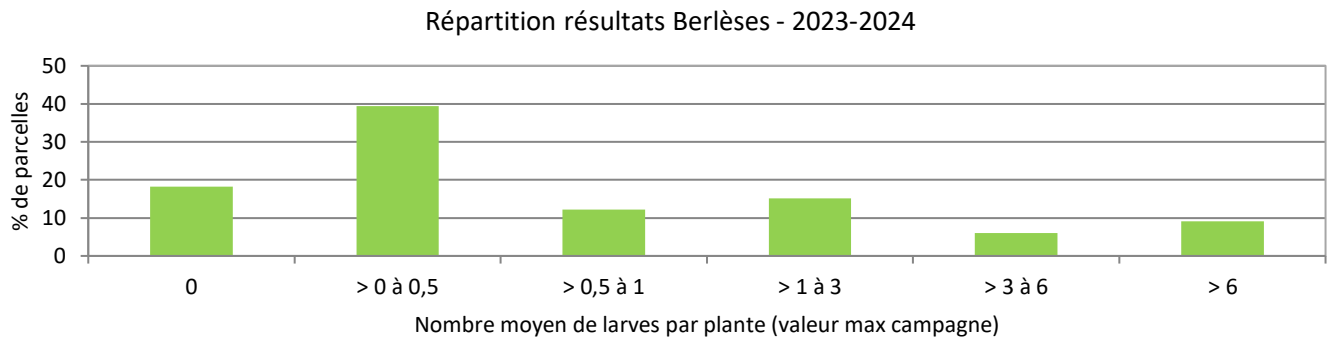


**ABONNEZ-VOUS GRATUITEMENT
AUX BSV DE LA RÉGION CENTRE-VAL DE LOIRE**

<http://bsv.centre.chambagri.fr/>

Contexte d'observations

Le réseau BSV Centre-Val de Loire a réalisé 33 Berlèses depuis 3 semaines maintenant. Les résultats confirment la forte hétérogénéité entre les parcelles. **Il est donc nécessaire d'évaluer le risque à la parcelle** ([cf. protocole en annexe](#)).



La pression moyenne reste faible pour l'instant, 2 parcelles à 10 larves par plante tirent la moyenne à 1,5 larves par plante, sans ces 2 valeurs la moyenne serait inférieure à 1 sur le réseau.

Toutes ces valeurs confirment bien l'important de réaliser un test Berlèse dans chaque parcelle, voire plusieurs si plusieurs variétés sont présentes au sein de la même parcelle.

Le risque est compris entre **nul** et **fort** avec les données disponibles à ce jour.

Pour les parcelles testées fin octobre, un nouveau test pourra être envisagé d'ici la fin de la semaine.

Modélisation des dates d'apparition des stades larvaires – 6 stations météorologiques départementales

L'utilisation du modèle de développement larvaire permet d'estimer l'apparition des larves de grosses altises dans les pétiotes, pour positionner au mieux les observations. *Pour rappel : La date du 25/09 peut être retenue pour le début des simulations d'apparition potentielle de larves.*

Les simulations via les données de températures montrent à présent qu'il devrait être possible de voir des larves au stade L1 pour des périodes de colonisation entre fin septembre et mi-octobre pour l'ensemble des stations météorologiques étudiées. Les observations corroborent les données du modèle, il y a aussi des stades L2 et L3 dans les parcelles du réseau.

Il est donc possible **important** de mettre en place des tests Berlèses dans **chaque** parcelle de colza ([cf. protocole en annexe](#)). *Attention aux confusions, d'autres [larves sont signalées](#) dans les plantes notamment des larves de diptères.*

Simulation cycle Altise Hiver - Station Météo : **TOURS (37)** – Source Météo-France

| Date de début de vol observé | Ponte | Eclosion L1 | Mue L2 | Mue L3 |
|------------------------------|------------|-------------|------------|------------|
| 25/9/2023 | 28/09/2023 | 12/10/2023 | 18/10/2023 | 24/10/2023 |
| 1/10/2023 | 03/10/2023 | 19/10/2023 | 27/10/2023 | 05/11/2023 |
| 5/10/2023 | 09/10/2023 | 26/10/2023 | 04/11/2023 | 16/11/2023 |
| 10/10/2023 | 13/10/2023 | 04/11/2023 | 16/11/2023 | |

(en vert, calculs réalisés avec les données réelles sinon valeurs Normales 2002-2021)

Simulation cycle Altise Hiver - Station Météo : **CHARTRES (28)** – Source Météo-France

| Date de début de vol observé | Ponte | Eclosion L1 | Mue L2 | Mue L3 |
|------------------------------|------------|-------------|------------|------------|
| 25/9/2023 | 28/09/2023 | 13/10/2023 | 21/10/2023 | 31/10/2023 |
| 1/10/2023 | 04/10/2023 | 23/10/2023 | 02/11/2023 | 19/11/2023 |
| 5/10/2023 | 09/10/2023 | 31/10/2023 | 15/11/2023 | |
| 10/10/2023 | 13/10/2023 | 13/11/2023 | | |

(en vert, calculs réalisés avec les données réelles sinon valeurs Normales 2002-2021)

Simulation cycle Altise Hiver - Station Météo : **BOURGES (18)** – Source Météo-France

| Date de début de vol observé | Ponte | Eclosion L1 | Mue L2 | Mue L3 |
|------------------------------|------------|-------------|------------|------------|
| 25/9/2023 | 28/09/2023 | 11/10/2023 | 16/10/2023 | 22/10/2023 |
| 1/10/2023 | 03/10/2023 | 19/10/2023 | 26/10/2023 | 06/11/2023 |
| 5/10/2023 | 09/10/2023 | 26/10/2023 | 05/11/2023 | 18/11/2023 |
| 10/10/2023 | 13/10/2023 | 05/11/2023 | 18/11/2023 | |

(en vert, calculs réalisés avec les données réelles sinon valeurs Normales 2002-2021)

Simulation cycle Altise Hiver - Station Météo : **ORLEANS (45)** – Source Météo-France

| Date de début de vol observé | Ponte | Eclosion L1 | Mue L2 | Mue L3 |
|------------------------------|------------|-------------|------------|------------|
| 25/9/2023 | 28/09/2023 | 13/10/2023 | 20/10/2023 | 28/10/2023 |
| 1/10/2023 | 05/10/2023 | 22/10/2023 | 31/10/2023 | 14/11/2023 |
| 5/10/2023 | 09/10/2023 | 29/10/2023 | 13/11/2023 | 16/12/2023 |
| 10/10/2023 | 13/10/2023 | 10/11/2023 | 04/12/2023 | |

(en vert, calculs réalisés avec les données réelles sinon valeurs Normales 2002-2021)

Simulation cycle Altise Hiver - Station Météo : **BLOIS Aéro (41)** – Source Météo-France

| Date de début de vol observé | Ponte | Eclosion L1 | Mue L2 | Mue L3 |
|------------------------------|------------|-------------|------------|------------|
| 25/9/2023 | 28/09/2023 | 13/10/2023 | 20/10/2023 | 29/10/2023 |
| 1/10/2023 | 04/10/2023 | 22/10/2023 | 31/10/2023 | 13/11/2023 |
| 5/10/2023 | 09/10/2023 | 29/10/2023 | 12/11/2023 | 03/12/2023 |
| 10/10/2023 | 13/10/2023 | 09/11/2023 | 24/11/2023 | |

(en vert, calculs réalisés avec les données réelles sinon valeurs Normales 2002-2021)

| Date de début de vol observé | Ponte | Eclosion L1 | Mue L2 | Mue L3 |
|------------------------------|------------|-------------|------------|------------|
| 25/9/2023 | 28/09/2023 | 12/10/2023 | 18/10/2023 | 24/10/2023 |
| 1/10/2023 | 03/10/2023 | 20/10/2023 | 28/10/2023 | 08/11/2023 |
| 5/10/2023 | 09/10/2023 | 28/10/2023 | 07/11/2023 | 19/11/2023 |
| 10/10/2023 | 13/10/2023 | 06/11/2023 | 19/11/2023 | |

(en vert, calculs réalisés avec les données réelles sinon valeurs Normales 2002-2021)

Période de risque

→ Depuis le stade rosette jusqu'au décollement du bourgeon terminal.

Seuil de nuisibilité

→ 70 % de plantes avec au moins une galerie au stade rosette. Dans le cas d'utilisation de la méthode Berlèse, le seuil de nuisibilité peut être atteint à partir de 3 larves par plante. Le seuil peut être relevé selon le contexte de production. Il est donc possible d'affiner le risque à l'échelle parcellaire avec l'outil d'aide à la décision disponible sur le site internet de [Terres Inovia](#).

Pour aller plus loin

Les larves après éclosion (L1) rejoignent les pétioles des plantes à partir du sol. Il est possible dans un premier temps d'observer la présence de la perforation leur permettant de pénétrer dans la plante. Ensuite les différents stades larvaires (L2-L3) sont observables dans les pétioles. Les larves âgées (Stade larvaire L3) sont les plus à risque car les meilleures candidates à la migration vers le cœur.

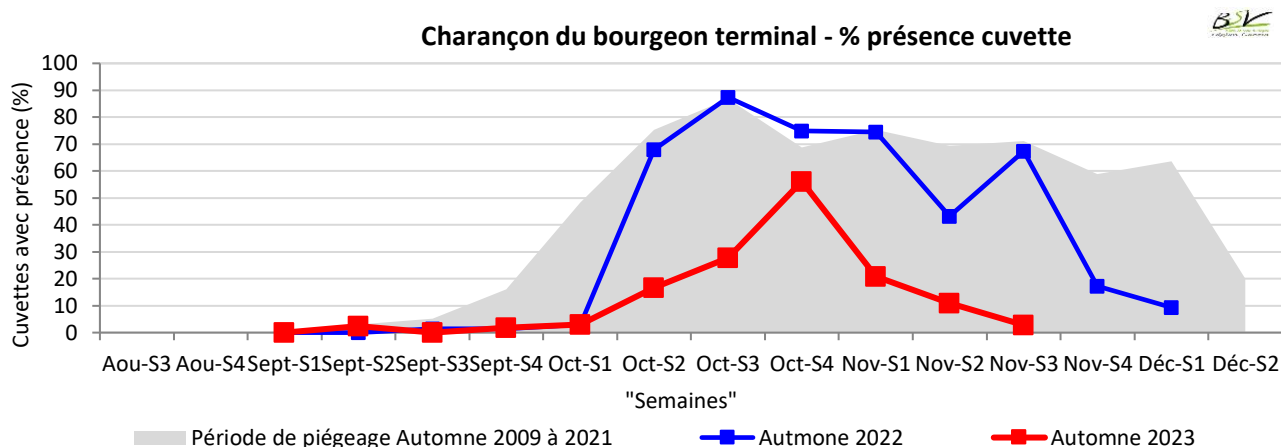


Retrouver les informations sur [la biologie](#) et [les résistances aux pyréthriinoïdes](#). Un outil d'évaluation du risque est disponible sur le site internet de Terres Inovia pour affiner le niveau de risque avec le contexte parcellaire.

Pour infos : Réseau de Réflexion et de recherches sur les résistances aux produits phytosanitaires : <https://www.r4p-inra.fr/fr>

Contexte d'observations

Quasiment aucune capture cette semaine dans les cuvettes du réseau. Cette campagne a suivi le profil de l'automne 2016 à la fois en termes de forme de courbe mais aussi de date.



Le risque a été difficile à évaluer pour cette campagne. La météo a rendu très difficile la gestion du risque quand elle pouvait être nécessaire. **A ce jour, le risque n'est plus à prendre en compte, le pic de vol datant de plus de 4 semaines.**

Si l'on fait un parallèle avec la campagne 2016-2017, l'impact sur les parcelles avait été faible. Il faut rajouter à l'analyse que les biomasses de cette automne sont très supérieures à l'automne 2016 hors zone à levée tardive.

Période de risque

→ De 4-5 feuilles jusqu'au décolllement du bourgeon terminal.

Seuil de nuisibilité

→ Il n'y a pas, pour le charançon du bourgeon terminal, de seuil de risque.

Etant donné la nuisibilité potentielle de cet insecte, il est considéré que sa seule présence sur les parcelles est un risque. Il est plus important sur les colzas à faible développement et faible croissance.

Pour aller plus loin



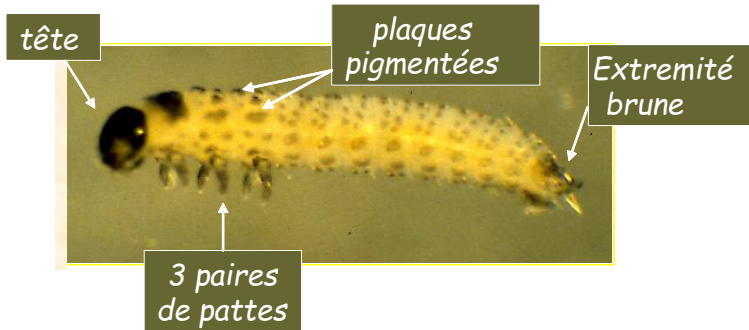
La gestion du risque du charançon du bourgeon terminal comme celui de l'altise d'hiver doit prendre en compte les phénomènes de [résistance aux pyréthrinoides](#).

Un outil d'évaluation du risque est disponible sur le site internet de Terres Inovia, il permet de combiner l'ensemble des éléments de production pour affiner le niveau de risque.

Pour infos : Réseau de Réflexion et de recherches sur les résistances aux produits phytosanitaires : <https://www.r4p-inra.fr/fr>

Reconnaissance Larve d'altise d'hiver

LARVE ALTISE



NE PAS CONFONDRE



Selon leur stade de développement, les larves, de forme allongée, mesurent de 1,5 à 8 mm et sont de couleur translucide à blanchâtre. Elles sont caractérisées par 3 paires de pattes thoraciques, une tête brun foncé bien développée, et une plaque pigmentée brun foncé à l'extrémité postérieure.

Elle possède donc deux extrémités brunes.

Les 3 paires de pattes thoraciques et les deux extrémités brunes sont caractéristiques de la larve d'altise et permettent de la différencier de celles de charançons, sans pattes et avec uniquement la tête brune.

Le reste du corps est également orné de petites plaques pigmentées disposées régulièrement.

Larves d'altises au trois stades larvaires



PROTOCOLE BERLESE

OBSERVATION DE LA PRESENCE DE LARVES D'ALTISES DANS LES PLANTES DE COLZA

Principe : Le dessèchement des colzas induit le retrait des larves de la plante qui tombent dans l'entonnoir puis dans le récipient et sont ainsi plus facilement dénombrables.

Matériel : Kit « Berlèse » (Support-Entonnoir-Grillage-Petit Pot) ou autre système similaire (cuvette jaune-grillage par exemple)

Eau savonneuse ou Eau alcoolisée (50% d'eau - 50% d'alcool modifié)



Pièce chauffée à 20 °C et ventilée pour favoriser le dessèchement des plantes.

Attention, il faut lutter contre l'humidité car elle favorise les pourritures qui peuvent être toxiques pour les larves.

Méthode :

- Etape 1 : Prélevez 20 plantes dans la parcelle à observer (4x 5 plantes consécutives dans la parcelle).
- Etape 2 : Coupez les pivots et le plus gros des limbes (non touchés) puis rincez rapidement les plantes.
→ le nettoyage permet d'éviter les dépôts de terre et facilite le comptage des larves.
- Etape 3 : Répartissez les plantes sur le grillage qui recouvre les entonnoirs (pas plus de 10 plantes par cuvette afin d'assurer un meilleur séchage). **Les premières larves sont visibles au bout de quelques heures.**
- Etape 4 : Après dessèchement complet des plantes (8 à 10 jours à une température de 20°C) comptez le nombre de larves tombées dans les récipients. Les observations peuvent aussi se réaliser régulièrement.

Infos à collecter : pour chaque récipient → nombre de larves et nombre de plantes concernées.

Altise – Observation stade larvaire

Attention, les larves les plus avancées en âge au moment du prélèvement tombent en premier. Les plus jeunes peuvent se maintenir dans les plantes tant que le végétal reste favorable à leur alimentation. La distinction des stades larvaires ne correspond donc plus forcément à leur état initial au moment du prélèvement.

Retrouver le protocole dans son intégralité avec le lien suivant :

http://www.vigicultures.fr/files/pdf/12.AnnexeXII-VigiColza-Mode_operatoire_Berlese_LarvesAltise.pdf

Retrouver la vidéo présentant la méthode Berlèse :

<https://youtu.be/xiIO3j8gyR0>